

## МАГНИТНЫЙ РЕЗОНАНС ЭНДОЭДРАЛЬНЫХ ФУЛЛЕРЕНОВ

© А.Б.Ройцин, А.А.Климов, Л.В.Артамонов

Институт физики полупроводников Академии наук Украины,  
252650 Киев, Украина  
(Поступила в Редакцию 7 мая 1996 г.)

Теоретически получен и исследован спектр магнитного резонанса эндодральных фуллеренов на основе  $C_{60}$ .

1. Большой интерес вызвало открытие фуллеренов и создание на их основе кристаллов — фуллеритов [1–3]. При этом интерес представляют не только своеобразная структура и симметрия этих новых образований из углерода, но и необычные свойства таких веществ. Было, например, показано, что при внедрении в них атомов других элементов могут возникать полупроводниковые, металлические, в том числе сверхпроводящие, свойства. Непосредственно в фуллерены оказалось возможным внедрять атомы элементов, относящихся к различным группам периодической системы (вплоть до лантанидов и даже урана включительно) [4–6]. Такие образования получили название эндодральных фуллеренов и обозначаются  $M@C_N$ ,<sup>1</sup> где  $M$  — внедряемый атом (ион) или группа атомов, а  $N$  — число атомов углерода в фуллерене.

Но несмотря на достаточно большое число сообщений о введении в фуллерены атомов других элементов, сведений о радиоспектроскопических экспериментах на них мало [5,7]. В основном исследовались методом электронного парамагнитного резонанса (ЭПР)  $La@C_{82}$  и  $Sc@C_{82}$  (локальная симметрия в центре  $C_{82}$  соответствует точечной группе  $C_2$ ). По мнению их авторов, примесные атомы трехкратно положительно заряжены и имеют суммарный момент количества движения  $J = 1/2$ . За счет их взаимодействия с ядрами  $^{139}La$  и  $^{45}Sc$  (спин каждого из ядер  $I = 7/2$ ) четко просматривается сверхтонкая структура из восьми линий. Независимо от этих экспериментов другими методами было показано [8], что атомы  $Gd$  и  $Eu$  в фуллерене  $C_{60}$  находятся соответственно в состояниях  $Gd^{3+}$  и  $Eu^{2+}$ , отличающихся высоким суммарным моментом ( $J = 7/2$ ). Эти данные указывают на возможность создания условий для наблюдения ЭПР и на высокоспиновых ионах в

<sup>1</sup> Чтобы отличить эти соединения от обычных, когда элемент присоединяется снаружи фуллера.

фуллеренах, в частности в наиболее распространенной молекуле  $C_{60}$ , обладающей в центре икосаэдрической симметрией (ИС). В данной работе развита теория магнитного резонанса парамагнитных центров (ПЦ), находящихся во внутрикристаллических полях ИС.

2. Для получения спинового гамильтонiana ( $\hat{W}$ ) существует ряд методов [9]. Но в любом из них необходимо знание трансформационных свойств базисных функций неприводимых представлений (НП) или функций-операторов (неприводимых тензорных операторов, операторов-эквивалентов и т. д.). Иначе говоря, необходимо знание матричного представления элементов групп. В работе [10] описан разработанный нами метод получения таких матриц применительно к ИС. На его основе были получены матрицы всех элементов всех НП всех групп икосаэдра ( $Y$ ,  $Y_h$ ,  $Y'$  и  $Y'_h$ ). Используя эти данные и описанные в [9] методы, мы получили  $\hat{W}$ , который можно представить в виде

$$\hat{W} = \hat{W}_C + \hat{W}_H, \quad \hat{W}_H = \hat{W}_H^{(1)} + \hat{W}_H^{(2)} + \hat{W}_H^{(3)}, \quad (1)$$

где  $\hat{W}_C$  и  $\hat{W}_H$  — соответственно операторы энергии взаимодействия с внутрикристаллическим электрическим полем и внешним магнитным полем  $H$ ,

$$\begin{aligned} \hat{W}_C &= d \left[ \hat{\Psi}_{-}^{6,5} - \sqrt{11/7} \hat{\Psi}_0^6 \right], \quad \hat{W}_H^{(1)} = g_1(\hat{J}H), \\ \hat{W}_H^{(2)} &= g_2 \left\{ H_z \left( \hat{\Psi}_0^5 - \sqrt{7/6} \hat{\Psi}_{-}^{5,6} \right) + \sqrt{5/6}/2 \times \right. \\ &\quad \left. \times \left[ H_x \left( \hat{\Psi}_{-}^{5,1} + \sqrt{7/3} \hat{\Psi}_+^{5,4} \right) + iH_y \left( \hat{\Psi}_+^{5,1} - \sqrt{7/3} \hat{\Psi}_{-}^{5,4} \right) \right] \right\}, \\ \hat{W}_H^{(3)} &= g_3 \left\{ H_z \left( \hat{\Psi}_0^7 - 2\sqrt{6/77} \hat{\Psi}_{-}^{7,5} \right) + \sqrt{2/7} \left[ H_x \left( \sqrt{39/22} \hat{\Psi}_+^{7,6} - \right. \right. \right. \\ &\quad \left. \left. \left. - \sqrt{3/44} \hat{\Psi}_+^{7,4} - \hat{\Psi}_{-}^{7,1} \right) + iH_y \left( \sqrt{39/22} \hat{\Psi}_{-}^{7,6} + \sqrt{3/44} \hat{\Psi}_{-}^{7,4} - \hat{\Psi}_+^{7,1} \right) \right] \right\}, \end{aligned}$$

где  $\hat{\Psi}_{\pm}^{L,m} = \hat{\Psi}_m^L \pm \hat{\Psi}_{-m}^L$ ,  $m > 0$ , а  $\hat{\Psi}_m^L$  ( $m = -L, \dots, +L$ ) — стандартные функции-операторы [9], представляющие собой линейную комбинацию произведений компонент  $\hat{J}_i$  оператора  $\hat{J}$  и являющиеся, как и сферические гармоники, базисом НП  $D_L$  группы вращений. Число сомножителей показывает величина  $L$ . Максимальное значение  $L$  при данном  $J$  равно  $2J$ . Поскольку величина  $L$  ограничена значением  $J$  ( $L \leq 2J$ ), число слагаемых, входящих в (1), зависит от величины  $J$ : при  $J \leq 2$  отличным от нуля будет лишь слагаемое  $\hat{W}_H^{(1)}$ , при  $J \leq 5/2 - \hat{W}_H^{(1)}$  и  $\hat{W}_H^{(2)}$ , при  $J \leq 3 - \hat{W}_H^{(1)}$ ,  $\hat{W}_H^{(2)}$  и  $\hat{W}_C$ , а при  $J \geq 7/2$  сохраняются все слагаемые (1).

Физический смысл входящих в (1) параметров таков: параметр  $d$  пропорционален энергетическому зазору между уровнями в нулевом магнитном поле (нулевому расщеплению); параметры  $g_i$  представляют собой линейную комбинацию матричных элементов вида  $(\hat{\mu}_z)_{ij}^{\alpha\beta}$ , где  $\hat{\mu}$  — оператор магнитного момента ПЦ, индексы  $i$  и  $j$  характеризуют компоненты симметризованных волновых функций НП  $\alpha$  и  $\beta$ .

соответственно. Параметры  $d, g_i$  следует рассматривать как обычные параметры (константы) СГ, и для целей статьи их явный вид несуществен.

Хотя в формуле (1) учтены и подробно расписаны лишь два основных слагаемых СГ ( $\hat{W}_C$  и  $\hat{W}_H$ ), определяющих спектр ЭПР, полученные выражения автоматически переносятся на сверхтонкое, квадрупольное и ядерное зеемановское взаимодействия, так как трансформационные свойства  $\hat{J}$ ,  $\hat{I}$  и  $\hat{H}$  идентичны. Для этого необходимо лишь в соответствующих выражениях осуществить подходящие замены:  $\hat{J} \leftrightarrow \hat{I}$ ,  $\hat{J} \leftrightarrow \hat{H}$ ,  $\hat{I} \leftrightarrow \hat{H}$ . Так, например, оператор сверхтонкого взаимодействия, линейный по  $\hat{I}$ , получается из  $\hat{W}_H$  простой заменой  $H \rightarrow \hat{I}$ , а оператор квадрупольного взаимодействия для  $I \geq 3$  — из  $\hat{W}_C$  путем замены в операторах  $\hat{\Psi}_m^6 \hat{J}$  на  $\hat{I}$ . Из сказанного следует, что полученные выше результаты применимы для описания как спектров ЭПР, так и спектров ядерного магнитного и квадрупольного резонансов.

3. Имея в виду сказанное выше, рассмотрим для определенности (без ограничения общности) спектр ЭПР. Собственные значения оператора (1) найдем для наиболее актуального случая — приближения сильных магнитных полей. С этой целью выберем оператор  $\hat{W}_H^{(1)}$  в качестве оператора нулевого приближения, а остальные слагаемые — в качестве операторов возмущения. С точностью до первого порядка теории для резонансного значения магнитного поля  $H_p$  перехода  $M \rightarrow M - 1$  получим

$$H_p = H_p^{(0)} + 30\Phi(\theta, \varphi) \left[ \sqrt{3d}n_c(J, M) - g_2 H_p^{(0)} n_H(J, M) / \sqrt{14} \right] / g_1, \quad (2)$$

где

$$H_p^{(0)} = \hbar\omega/g_1, \quad n_H(J, M) = 7[3M^4 - 6M^3 + (9 - 2A)M^2 - 2M(3 - A) + B/7]/12,$$

$$n_c(J, M) = (M - 1/2)[11M^4 - 22M^3 + (49 - 10A)M^2 + 2M(5A - 19) + 5B/3]/20,$$

$$\Phi(\theta, \varphi) = (231x^6 - 315x^4 + 105x^2 - 5 + 42x \sin^5 \theta \sin 5\varphi)/16, \quad M = -J, \dots, +J,$$

$\hbar$  — постоянная Планка,  $\omega$  — круговая частота перехода,  $A = J(J + 1)$ ,  $B = A^2 - 8A + 12$ ,  $x = \cos \theta$ ,  $\theta$  и  $\varphi$  — полярный и азимутальный углы

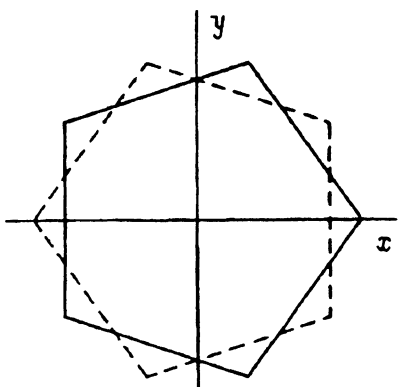


Рис. 1. Проекция икосаэдра на плоскость  $xy$ , проходящую через его центр перпендикулярно оси (пятого порядка)  $z$ , направленной к читателю.

Сплошной (штриховой) линией указана проекция части фигуры, расположенной над (под) плоскостью.

Значения  $n(J, M)$  и  $G(J, M)$

$M$	$n_c(7/2, M)$	$n_H(7/2, M)$	$n_H(5/2, M)$	$G(7/2, M)$	$G(5/2, M)$
7/2	3	15	-	7	-
5/2	-7	-20	1	12	5
3/2	7	1	-5/2	15	8
1/2	0	15	10/3	16	9
-1/2	-7	1	-5/2	15	8
-3/2	7	-20	1	12	5
-5/2	-3	15	-	7	-

вектора  $\mathbf{H}$  (выбор системы координат дан на рис. 1). В формулу (2) для краткости и удобства анализа спектра не включено слагаемое от  $\hat{W}_{\mathbf{H}}^{(3)}$ , содержащее наибольшую степень  $\hat{j}_i(L = 7)$ , так как оно по порядку величины малости является следующим после слагаемого  $\hat{W}_{\mathbf{H}}^{(2)}$ , также содержащего магнитное поле.

Из (2) следует, что в отсутствие анизотропных слагаемых ( $d = g_2 = 0$ ) все линии в спектре совпадают и находятся в положении  $H_p^{(0)}$  при любой ориентации поля  $\mathbf{H}$ . При  $d \neq 0$  ( $g_2 \neq 0$ ) возможно расщепление этой линии в общем случае на  $2J$  линий, каждая из которых имеет угловую зависимость  $\Phi(\theta, \varphi)$ . Характерная особенность последней — повторение спектра через  $72^\circ$  при вращении магнитного поля вокруг оси  $z$  (при произвольном значении  $\theta$ , не обращающем множитель при  $\sin 5\varphi$  в нуль). При изменении угла  $\theta$  ( $\varphi$  — произвольное) спектр повторяется через  $180^\circ$ .

В качестве конкретных примеров рассмотрим примесные ионы с  $J = 5/2$  и  $7/2$ . Первый случай соответствует минимальному значению  $J$ , при котором не исчезает слагаемое  $\hat{W}_{\mathbf{H}}^{(2)}$ ; второй — значению  $J$ , при котором сохраняется как  $\hat{W}_{\mathbf{H}}^{(2)}$ , так и  $\hat{W}_C$ . При этом оба случая соответствуют наиболее распространенным примесным ионам в  $s$ -состоянии:  $\text{Mn}^{2+}$ ,  $\text{Fe}^{3+}$ ,  $\text{Eu}^{2+}$ ,  $\text{Gd}^{3+}$ . В таблице приведены значения  $n_c(7/2, M)$ ,  $n_H(7/2, M)$ ,  $n_H(5/2, M)$  и квадратов матричных элементов  $G(J, M)$  переходов  $M \rightarrow M - 1$ . Из таблицы видно, что при  $J = 7/2$  оператор  $\hat{W}_C$  приводит к неполному расщеплению исходной линии на пять линий, в то время как оператор  $\hat{W}_{\mathbf{H}}^{(2)}$  — всего на три линии. В случае  $J = 5/2$  оператор  $\hat{W}_C$  отсутствует, а оператор  $\hat{W}_{\mathbf{H}}^{(2)}$  приводит к расщеплению исходной (пятикратно вырожденной) линии на три линии. Таким образом, разные механизмы взаимодействия приводят к различным спектрам ЭПР, что позволяет идентифицировать разные слагаемые СГ и определять их параметры из эксперимента.

При проведении экспериментов следует различать два случая. Первый случай характеризуется хаотической ориентацией ПЦ, когда фуллерены, содержащие примесные ионы, находятся в газовой фазе, растворе, сплаве или порошке кристалла. В этом случае оси молекул распределены в пространстве хаотично по отношению к полю  $H$ , и для описания (предсказания) спектра ЭПР необходимо провести соответ-

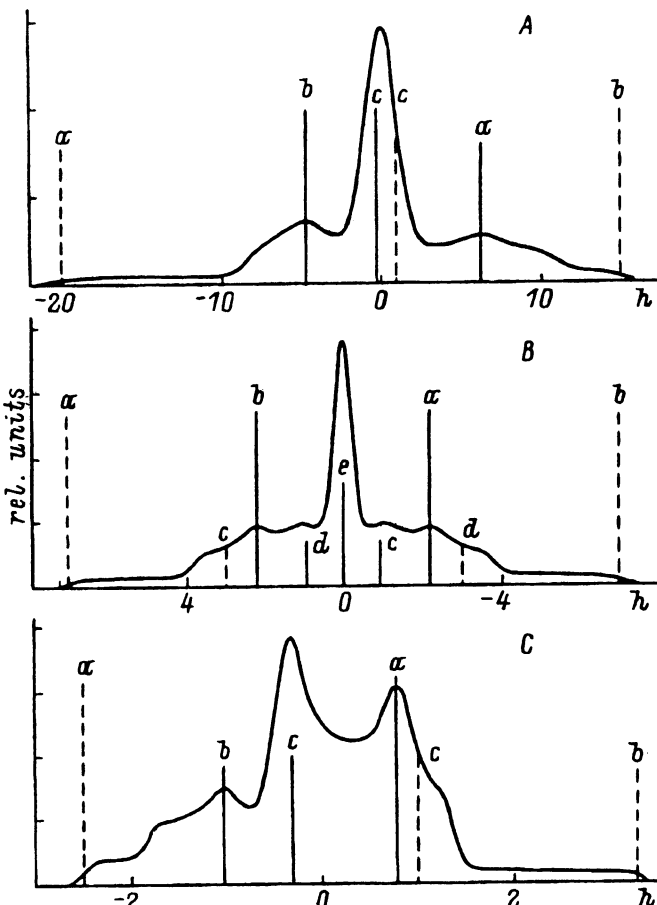


Рис. 2. Спектр ЭПР хаотически ориентированных ПЦ ИС.

При строчных буквах указаны переходы  $M \leftrightarrow M - 1$ , соответствующие одним и тем же значениям  $h$ . А)  $n(J, M) = n_H(7/2, M)$ ,  $\Delta = 1$ . а:  $5/2 \leftrightarrow 3/2$  и  $-3/2 \leftrightarrow -5/2$ , б:  $7/2 \leftrightarrow 5/2$ ,  $1/2 \leftrightarrow -1/2$  и  $-5/2 \leftrightarrow -7/2$ , с:  $3/2 \leftrightarrow 1/2$  и  $-1/2 \leftrightarrow -3/2$ . Б)  $n(J, M) = n_c(7/2, M)$ ,  $\Delta = 0.25$ . а:  $5/2 \leftrightarrow 3/2$  и  $-1/2 \leftrightarrow -3/2$ , б:  $3/2 \leftrightarrow 1/2$  и  $-3/2 \leftrightarrow -5/2$ , с:  $-5/2 \leftrightarrow -7/2$ , д:  $7/2 \leftrightarrow 5/2$ , е:  $1/2 \leftrightarrow -1/2$  (для этого перехода сплошная и штриховая линии совпадают). В)  $n(J, M) = n_H(5/2, M)$ ,  $\Delta = 0.1$ . а:  $3/2 \leftrightarrow 1/2$  и  $-1/2 \leftrightarrow -3/2$ , б:  $1/2 \leftrightarrow -1/2$ , с:  $5/2 \leftrightarrow 3/2$  и  $-3/2 \leftrightarrow -5/2$ .

ствующее усреднение по углам  $\theta$  и  $\varphi$ , используя формулу (2). Второй случай соответствует одинаковой ориентации всех ПЦ в пространстве. Он реализуется в переохлажденных жидкостях или кристаллах типа фуллеритов. В этом случае будет непосредственно проявляться рассмотренная выше угловая зависимость спектра ЭПР. Поэтому остановимся подробнее на хаотической ориентации ПЦ. Используя методы усреднения [11] и выбирая в качестве индивидуальной линии нормированный к единице гауссиан, для спектра ЭПР получим

$$F(H) = \frac{5}{4a\pi^{3/2}} \sum_{M=-J+1}^J (A - M^2 + M) \int_{-1}^1 dx \int_0^{72^\circ} \exp\left(-\frac{(h - h_M)^2}{a^2}\right) d\varphi, \quad (3)$$

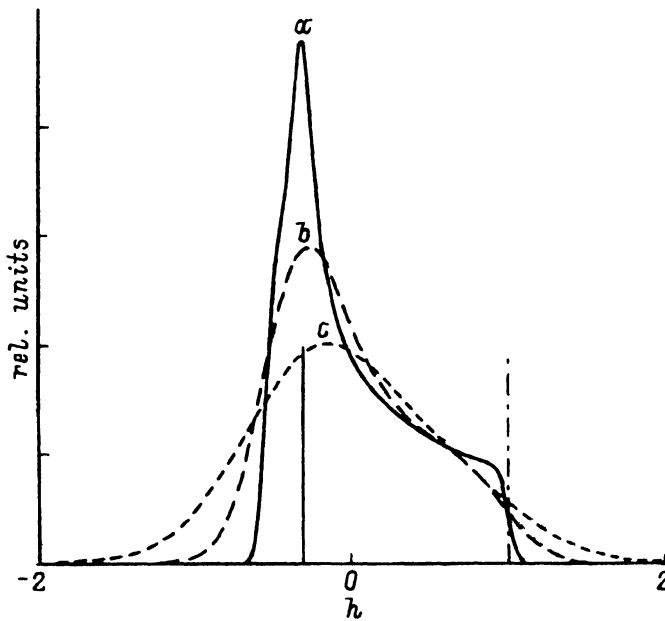


Рис. 3. Форма линии, обусловленная ориентационным уширением.  
 $\Delta$ :  $a = 0.05$ ,  $b = 0.25$ ,  $c = 0.5$ .

$h_M = n(J, M)\Phi(x, \varphi)$ ,  $n(J, M) = n_H(J, M)$  или  $n_c(J, M)$ ,  $a = \Delta/\sqrt{\ln 2}$ ,  $\Delta$  — полуширина в полумаксимуме интенсивности,  $h$ ,  $h_M$  и  $\Delta$  — здесь безразмерные величины. Отсчет  $h$  осуществляется от значения  $H_p^{(0)}$ . Численные коэффициенты и параметры СГ, одинаковые для всех переходов определенного механизма, как масштабные множители не влияют на вид спектра и поэтому не учитываются. Результаты расчета для разных слагаемых СГ и разных значений  $J$  приведены на рис. 2. Каждая линия любого перехода имеет одну и ту же форму, более детально изображенную на рис. 3. То, что ширины линий на рис. 2 для разных переходов одного и того же механизма различны, связано с различными множителями  $n(J, M)$ . На рис. 2 вертикальными прямыми показаны также положения линий и их относительные интенсивности (в соответствии с таблицей) для монокристаллов при значениях углов  $\theta = 90^\circ$  (сплошная линия) и  $0^\circ$  (штриховая линия) и произвольных значениях  $\varphi$ . Аналогичный смысл имеют прямые на рис. 3. Видно, что максимумы результирующего спектра ЭПР неупорядоченных ПЦ близки к линиям, соответствующим  $\theta = 90^\circ$  для монокристалла.

4. Полученные результаты существенно отличаются от известных данных для ПЦ других симметрий. Наиболее высокой из рассмотренных ранее симметрий является кубическая [12]. В этом смысле она более близка к ИС и поэтому в первую очередь представляет интерес. В случае ИС расщепление термов в кристаллическом поле начинается с больших значений  $J$  (с  $J = 3$  и  $7/2$ ). Это означает, что при  $J < 3$  кристаллическое поле ИС в бесполевом резонансе или в угловой зависимости линий ЭПР непосредственно себя не проявляет, и спектр будет изотропным. В случае кубической симметрии (КС) расщепление атомных термов в кристалле начинается со значений  $J = 2$  и  $5/2$ . Соответственно в случае ИС первыми неисчезающими операторами

кристаллического поля будут члены, содержащие  $\hat{J}_i$  в шестой степени, в то время как в случае КС эти члены начинаются с четвертой степени. В случае ИС первый неисчезающий анизотропный оператор зеемановской энергии начинается с пятой степени  $J_i$  ( $J \geq 5/2$ ), в случае КС — с третьей ( $J \geq 3/2$ ). Иначе говоря, в случае ИС для прямого или косвенного, проявления кристаллического поля необходимы более высокоспиновые зонды, чем в случае КС.

Но параметры СГ, связанные с более высокими степенями  $\hat{J}_i$ , в микротеории соответствуют более высоким порядкам теории возмущений и по величине они обычно меньше параметров СГ, стоящих при меньших степенях  $\hat{J}_i$ , поэтому и в спектрах ЭПР они проявляются слабее. Тем не менее такие параметры достаточно надежно измерялись в случае других симметрий, например кубической [12], даже на фоне отличных от нуля слагаемых с более низкими степенями  $\hat{J}_i$  ( $\sim \hat{J}_i^3$  и  $\hat{J}_i^4$ ). В случае ИС, как отмечалось выше, последние слагаемые отсутствуют, что способствует измерению параметров при высоких степенях ( $\sim \hat{J}_i^5$  и  $\hat{J}_i^6$ ) в чистом виде и является благоприятным фактором для ИС.

Следствием различий в СГ является различие в спектрах ЭПР. Так, в отличие от ИС в случае КС возникает полное расщепление линий в спектре. Иной характер носит и угловая зависимость линий спектра. В случае КС она имеет вид  $\Phi(\theta, \varphi) = 1 - 5 \sin^2 \theta (\cos^2 \theta + \sin^2 \theta \sin^2 2\varphi/4)$ , т. е. существенно отличается от приведенной в (2).

Аналогично можно рассмотреть и другие, более низкие, чем кубическая, симметрии и показать существенные отличия в их спектрах ЭПР от спектров при ИС. Таким образом, в случае ИС возникают качественно новые, ранее не наблюдавшиеся особенности в спектрах магнитного резонанса. Инаконец, отметим, что ИС обладают не только фуллерены [13], поэтому полученные в работе результаты применимы и к другим образованиям, содержащим ПЦ.

Работа выполнена при поддержке Госкомитета по науке и технологиям Украины.

#### Список литературы

- [1] Р.Ф. Карл, Р.Э. Смолли. В мире науки, **12**, 14 (1991).
- [2] В. Кречмер. Природа, **1**, 30 (1992).
- [3] В.М. Локтев. ФНТ **18**, 3, 217 (1992).
- [4] F.D. Weiss, J.L. Elkind, S.C. O'Brien, R.F. Curl, R.A. Smalley. J. Am. Chem. Soc. **110**, 13, 4464 (1988).
- [5] D.S. Bethune, R.D. Johnson, J.R. Salem, M.S. de Vries, C.S. Yannoni. Monthly nature **1**, 11, 67 (1993).
- [6] А.В. Елецкий. УФН **164**, 9, 1007 (1994).
- [7] T. Kato, Sh. Suzuki, K. Kikuchi, Y. Achiba. J. Phys. Chem. **97**, 51, 13425 (1993).
- [8] L. Moro, R.S. Ruoff, C.H. Becker, D.C. Lorents, R. Malhotra. J. Phys. Chem. **97**, 26, 6801 (1993).
- [9] А.Б. Ройцин. Некоторые применения теории симметрии в задачах радиоспектроскопии. Киев (1973). 100 с.
- [10] А.Б. Ройцин, А.А. Климов, Л.В. Артамонов. ФТТ **38**, 3, 741 (1996).
- [11] А.Б. Ройцин. В сб.: Радиоспектроскопия твердого тела / Под ред. А.Б. Ройцина, Киев (1992). С. 89.
- [12] А. Абрагам, Б. Блинни. Электронный парамагнитный резонанс переходных ионов. М. (1972). Т. 1. 652 с.
- [13] А.Б. Ройцин. Природа, **8**, 10 (1993).